

## Briefing Clima Espacial

31/05/2023

### 1 Sol

#### 1.1 Responsável: José Cecatto

22/05 – “Flare” M1.9; Vento solar rápido ( $\leq 600$  km/s); 11 CME p.t.c. para a Terra;  
23/05 – “Flare” M3.0; Vento solar rápido ( $\leq 600$  km/s); 8 CME p.t.c. para a Terra \*\*;  
24/05 – “Flares” M1.0, M1.8, M1.0; Vento solar rápido ( $\leq 600$  km/s); 9 CME p.t.c. para a Terra \*;  
25/05 – “Flare” M1.1; Vento solar rápido ( $\leq 650$  km/s); 8 CME p.t.c. para a Terra;  
26/05 – Sem “flares” (M/X); Vento solar rápido ( $\leq 550$  km/s) ; 5 CME p.t.c. para a Terra;  
27/05 – Sem “flares” (M/X); Vento solar rápido ( $\leq 500$  km/s); 7 CME p.t.c. para a Terra;  
28/05 – “Flare” M1.1; Vento solar rápido ( $\leq 500$  km/s); 5 CME p.t.c. para a Terra;  
29/05 – Sem “flares” (M/X); Vento solar rápido ( $\leq 450$  km/s); 1 CME p.t.c. para a Terra \*  
Prev.: Vento solar rápido a partir dos próximos 02-04 dias; probabilidade de “flares” (55% M, 10% X) nos próximos 2 dias; eventualmente outras CME podem ter componente dirigida para a Terra.  
p.t.c. – pode(m) ter componente; \* halo parcial; \*\* halo

### 2 Sol

#### 2.1 Responsável: Douglas Silva

- EMC (<https://ccmc.gsfc.nasa.gov/donki/>):
- WSA-ENLIL (Ejeção de Massa Coronal (EMC) 2023-05-19T07:24:00 UT)
  - Os resultados das simulações indicam que o flanco da EMC alcançará a missão DSCOVR entre 2023-05-21T17:00:00 UT e 2023-05-22T07:00:00 UT.
- WSA-ENLIL (Ejeção de Massa Coronal (EMC) 2023-05-25T15:36:00 UT)
  - Os resultados das simulações indicam que o flanco da EMC alcançará a missão DSCOVR entre 2023-05-29T17:00 UT e 2023-05-30T07:00:00 UT.

- Buracos coronais (SPoCA : Spatial Possibilistic Clustering Algorithm):

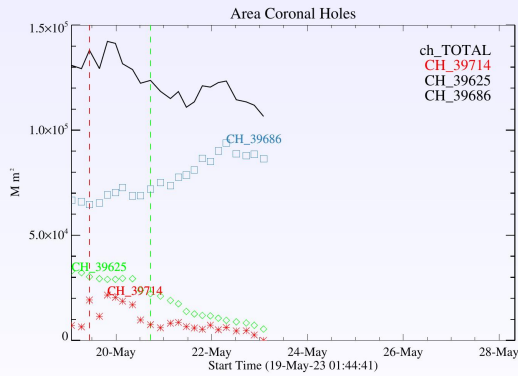


Figura: A linha preta mostra o resultado da soma das áreas para cada intervalo da detecção realizado pelo SPOCA entre os dias 19 e 23 de maio de 2023

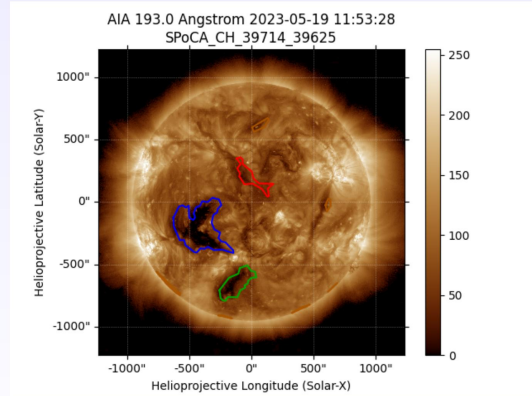


Figura: Sobre a imagem em 193 Å do Sol estão destacados os Buracos coronais observado pelo SPOCA por volta das 11:50 UT do dia 19 de maio de 2023 (linha vermelha pontilhada do gráfico à esquerda).



- Buracos coronais (SPoCA : Spatial Possibilistic Clustering Algorithm):

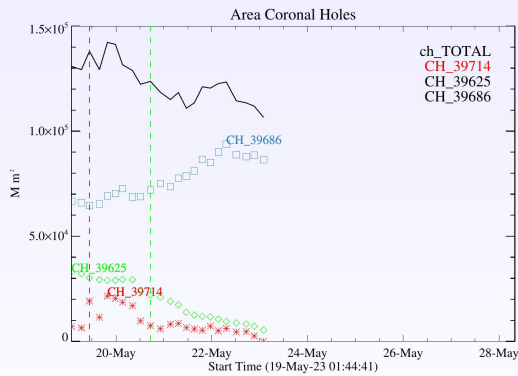


Figura: A linha preta mostra o resultado da soma das áreas para cada intervalo da detecção realizado pelo SPOCA entre os dias 19 e 23 de maio de 2023

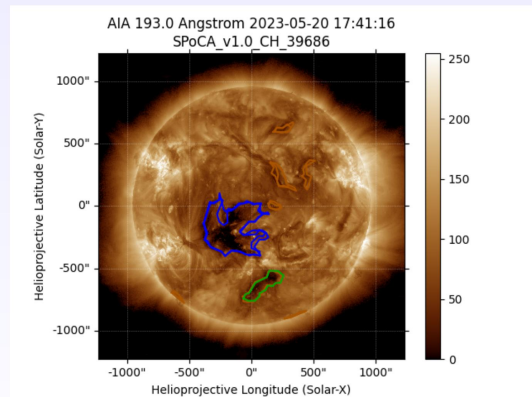
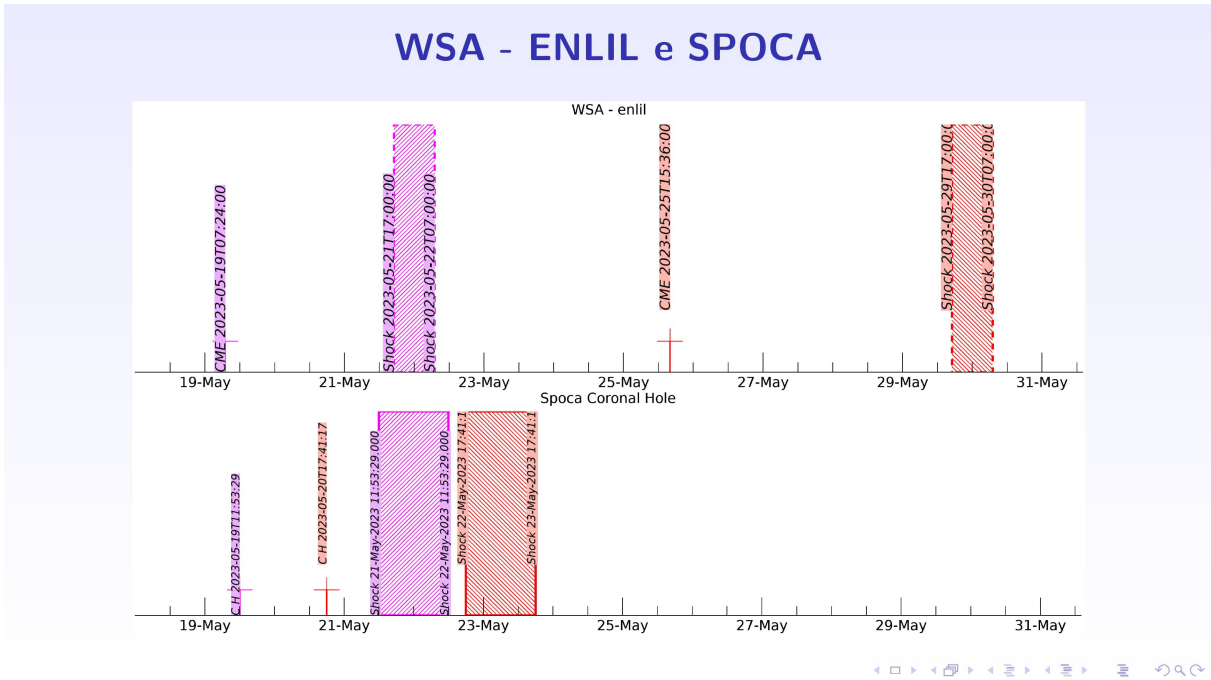


Figura: Sobre a imagem em 193 Å do Sol estão destacados os Buracos coronais observados pelo SPOCA por volta das 17:40 UT do dia 20 de maio de 2023 (linha verde pontilhada do gráfico à esquerda).





### 3 Cinturões de Radiação

#### 3.1 Responsável: Ligia Alves da Silva

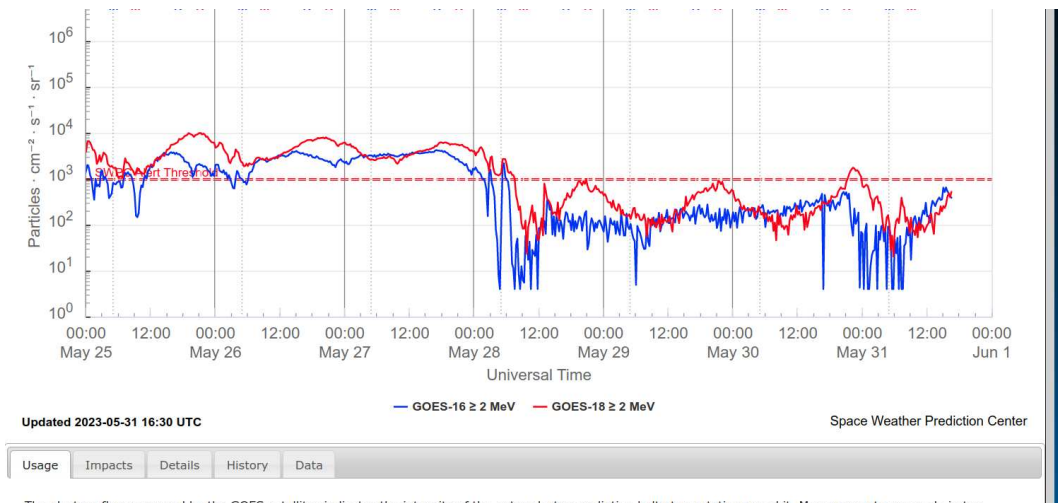


Figura 1: Fluxo de elétrons de alta energia (> 2 MeV) obtido a partir dos satélites GOES-16 e GOES-18. Fonte: <https://www.swpc.noaa.gov/products/goes-electron-flux>

O fluxo de Elétrons de alta energia (> 2 MeV) na borda do cinturão de radiação externo obtidos a partir do satélite geostacionário GOES-16 e GOES-18 (Figura que segue) apresenta-se entre  $10^3$  e  $10^4$  partículas/( $cm^2 sr$ ) durante os três primeiros dias do período analisado. Um “dropout” de aproximadamente três ordens de grandeza foi observado no dia 28/maio, após essa diminuição, o fluxo de elétrons esteve abaixo de  $10^3$  partículas/( $cm^2 sr$ ) todo o restante do período.

## 4 Ondas ULF

### 4.1 Responsável: Graziela B. D. Silva

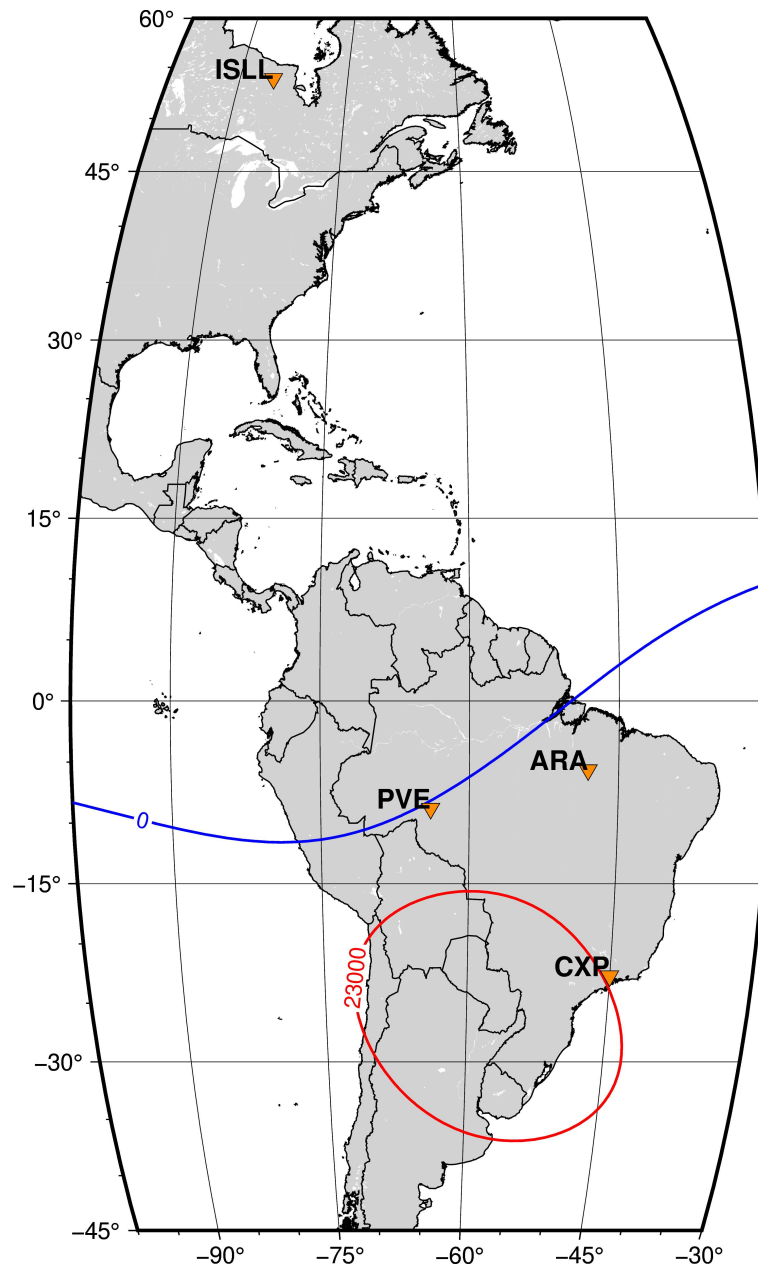


Figura 2: a) Mapa da localização geográfica das estações usadas das redes Embrace e Carisma, mostrando as isolinhas do equador magnético (azul) e a região da SAMA (vermelho). Cortesia: Karen Sarmiento.

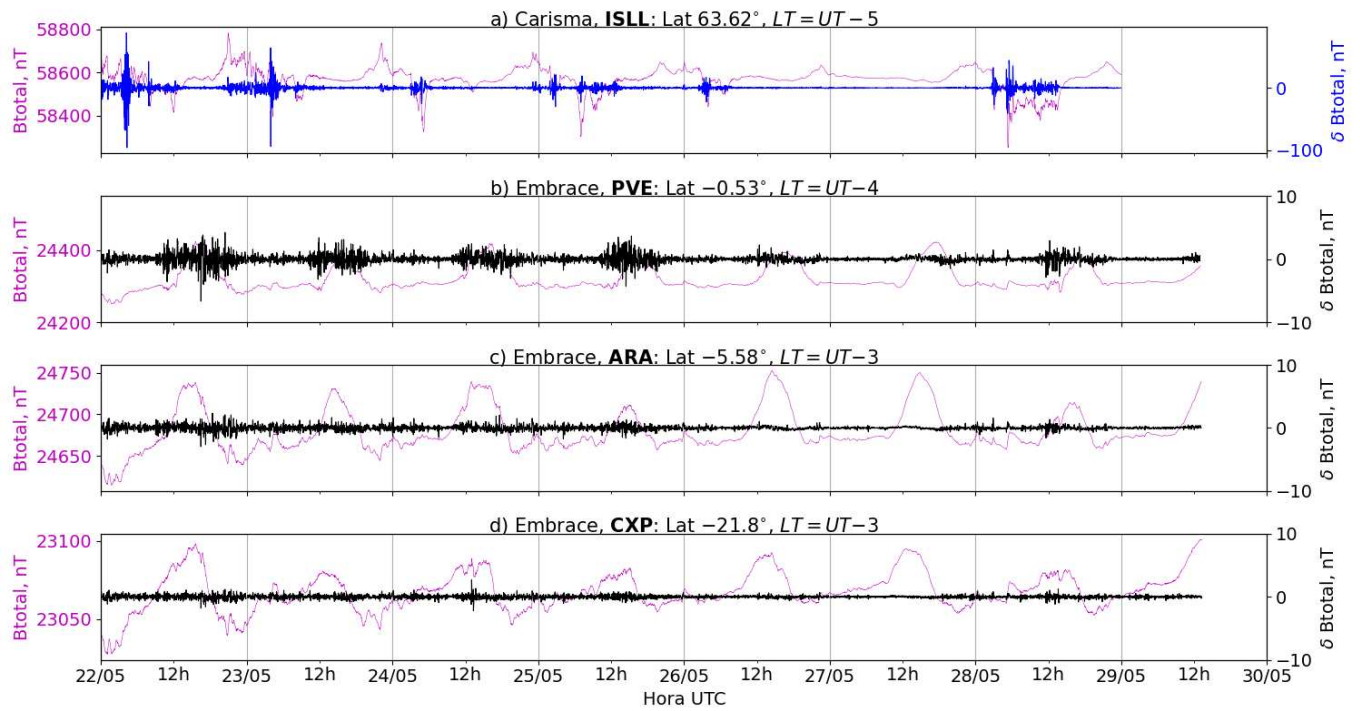


Figura 3: a) Sinal do campo magnético total medido na Estação ISLL (Island Lake) da rede CARISMA de magnetômetros em magenta, junto com a flutuação na faixa de Pc5 em azul. b-d) sinais do campo magnético na componente H medido nas estações PVE (Porto Velho), ARA (Araguatins) e CXP (Cachoeira Paulista) da rede EMBRACE de magnetômetros em magenta, junto com as respectivas flutuações na faixa de Pc5 em preto.

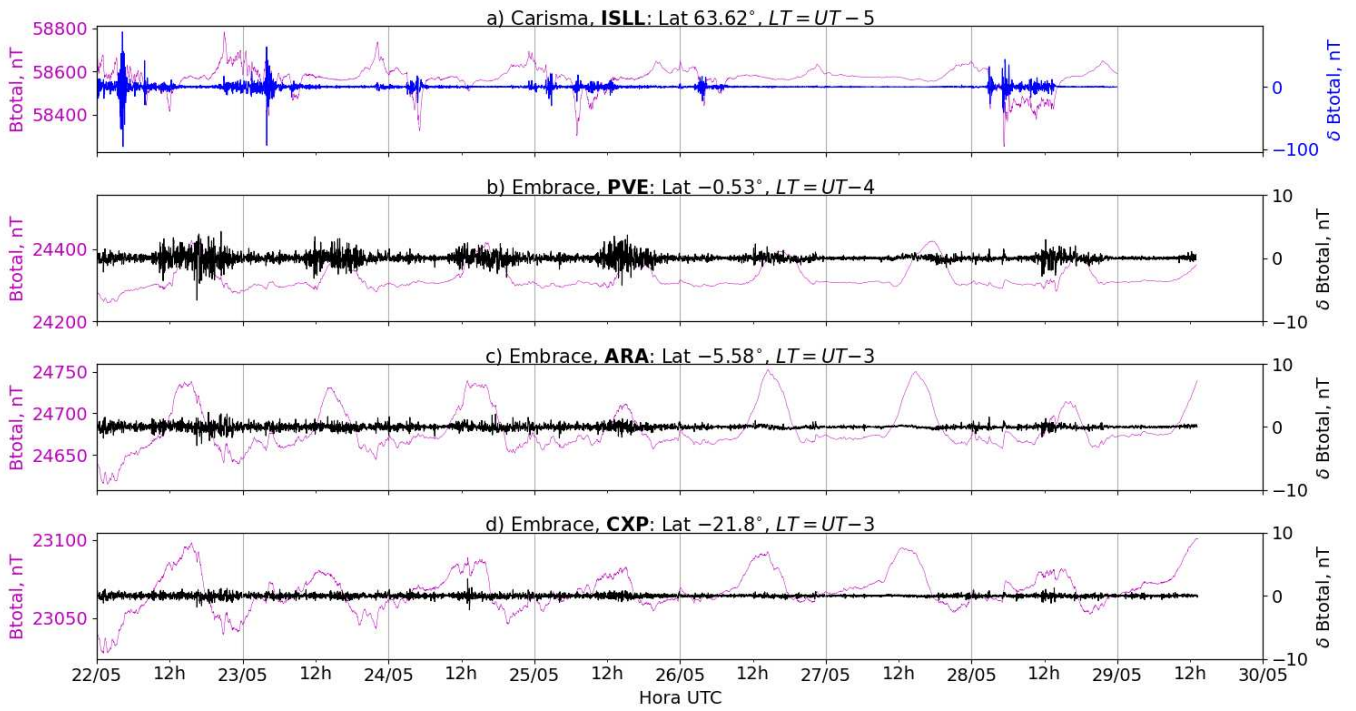


Figura 4: a-d) Densidade de potência espectral das flutuações do campo magnético total ( $\delta$  Btotal) registradas a) na estação de alta latitude (ISLL-CARISMA), e b-d) nas estações de baixas latitudes da rede EMBRACE (PVE, ARA, CXP).

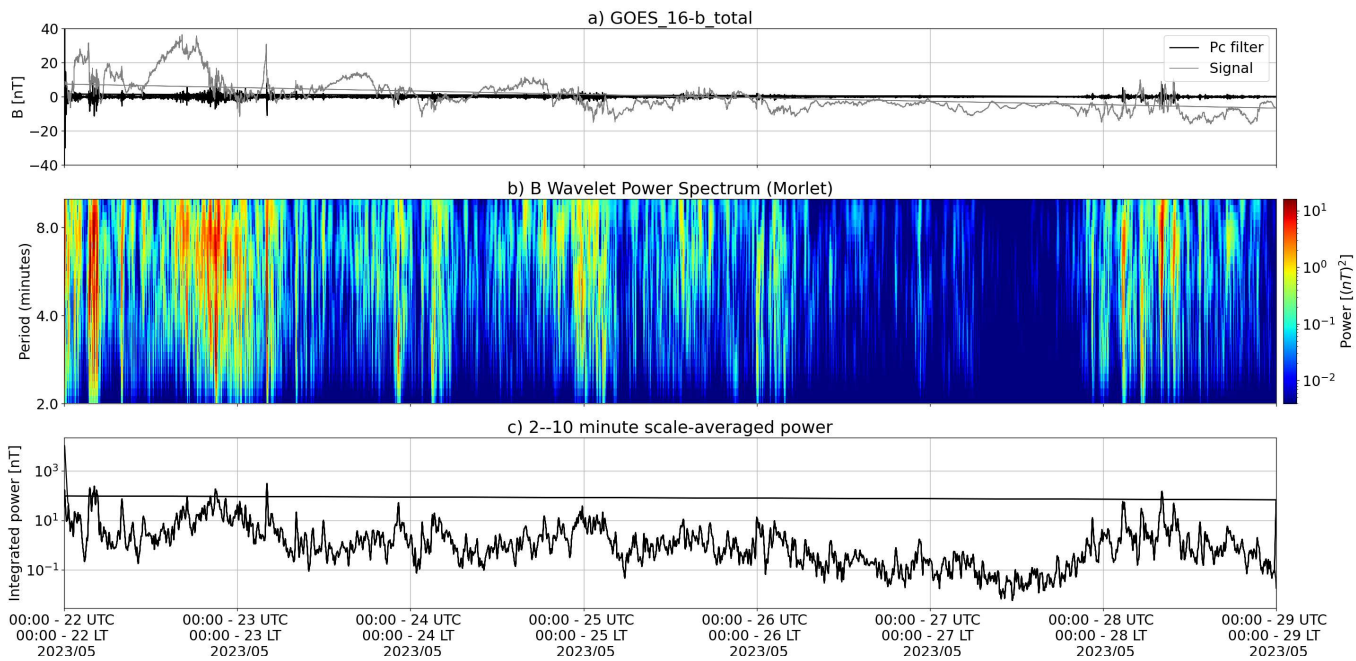


Figura 5: a) sinal do campo magnético total medido pelo satélite GOES 16, junto com a flutuação na faixa de Pc5 em preto. b) Espectro de potência wavelet do sinal filtrado. c) Média da potência espectral nas faixas de 2 a 10 minutos (ondas ULF).

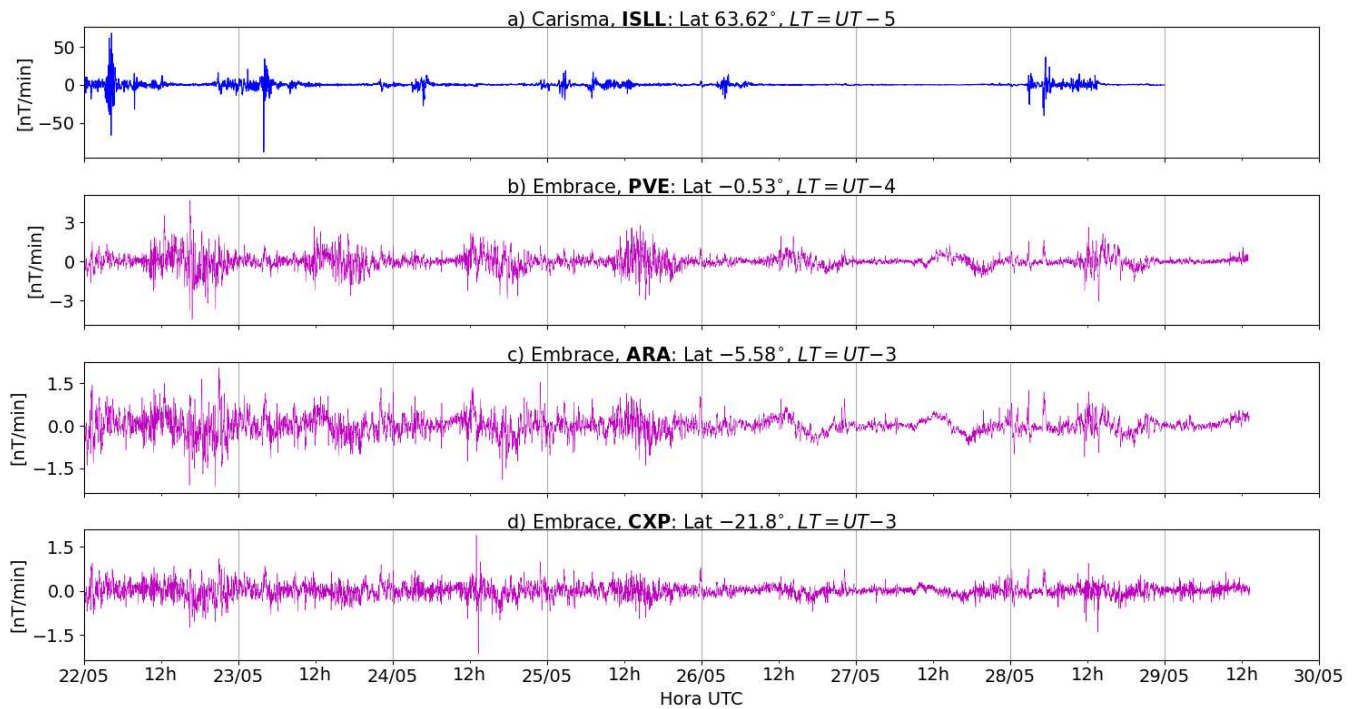


Figura 6: a-d) Taxa de variação do campo magnético na componente H ( $dB_H/dt$ ) registradas a) na estação de alta latitude (ISLL-CARISMA), e b-d) nas estações de baixas latitudes da rede EMBRACE (PVE, ARA, CXP).

- O campo geomagnético medido na órbita do GOES 16 apresentou atividade significativa todos os dias, exceto em 26 e 27/05.
- Houve atividade intensa de ondas ULF Pc5 observada ao longo da semana, na estação ISLL em alta latitude.
- A estação PVE da rede Embrace, sob o equador dip, registrou atividade intensa todos os dias.
- As estações CXP e ARA da rede Embrace, em baixas latitudes, registraram baixa atividade na semana.
- As taxas de dB/dt atingiram valores máximos em módulo  $> 50$  nT/min em ISLL (22-23/05), enquanto em baixas latitudes as taxas foram menor que  $\sim 4$  nT/min em módulo (valor máximo observado em PVE).
- Não houve detecção de SI (sudden impulses ou SCs) significativos ( $> 5$  nT/min).

## 5 Atividade geomagnética

### 5.1 Responsável: Lívia Alves

Na semana de 23/05 a 29/05, destacam-se os seguintes eventos relacionados a atividade geomagnética: Os dados provenientes da rede de magnetômetros Embrace registraram atividades geomagnética no período, com destaque para:

- 26 a 28: houve o registro de impulso súbito nesses dois dias, mas a tempestade não se desenvolveu.
- 28 de maio: foi registrado o mínimo da componente H por volta das 15 UT, PVE registrou mínimo.
- O índice AE esteve ativo no dia 28/05, ultrapassando 500 nT. O índice Dst mínimo foi de -38 nT (28/05). O Kp mais alto da semana foi 3o.
- Campo magnético medido na órbita do satélite GOES apresentou algumas instabilidades ao longo da semana.

**Briefing semana de 23/05 à 29/05 de 2023**

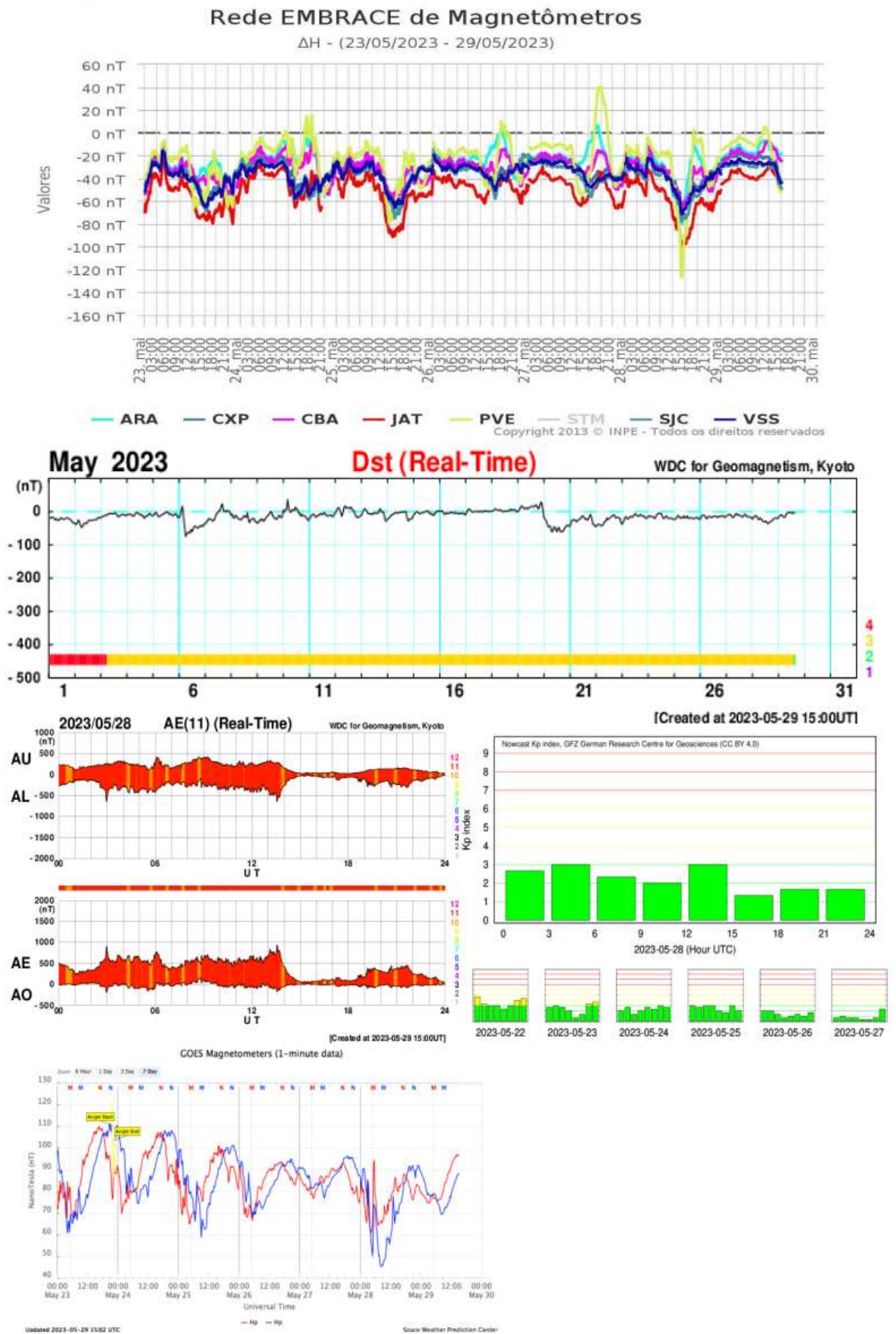


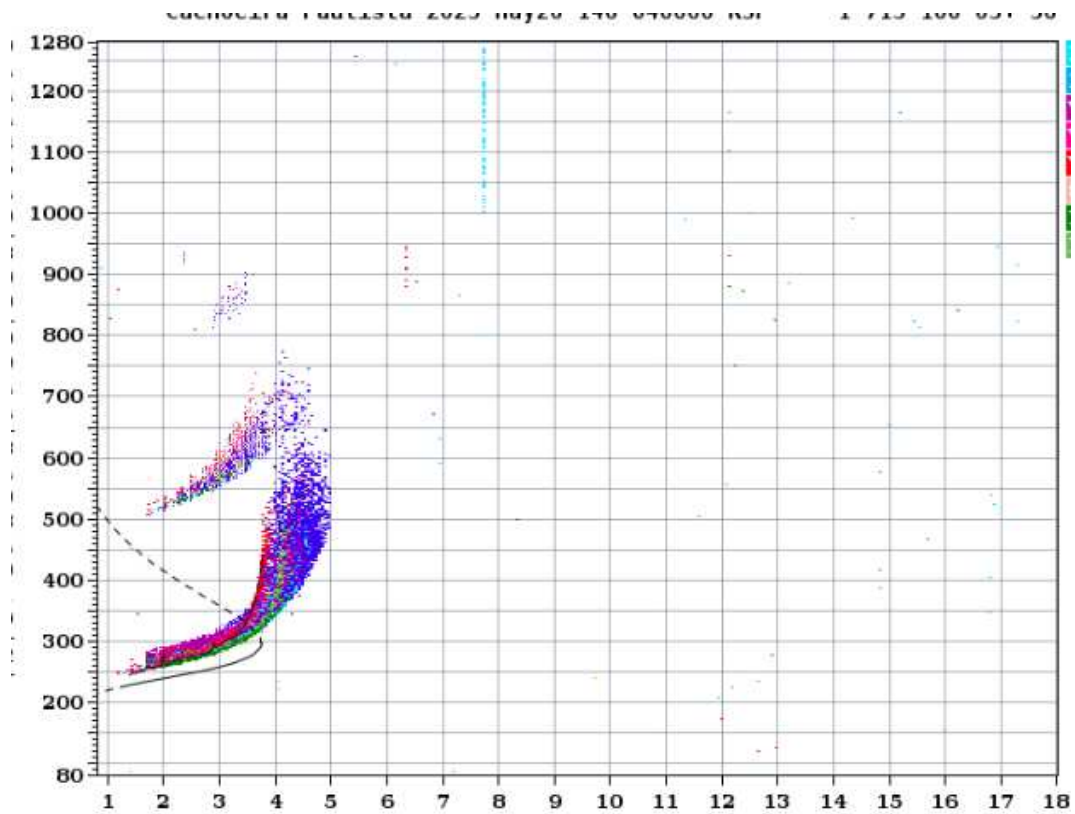
Figura 7: Evolução temporal do campo magnético de índices magnéticos durante a semana reportada.

## 6 Ionosfera

### 6.1 Responsável: Laysa Resende

#### Cachoeira Paulista:

- Ocorreu spread-F no dia 26 de maio.
- As camadas Es dessa região atingiram a escala 2 e 3.



#### São Luís

- Ocorreu spread -F entre os dias 24 e 28 de maio.
- As camadas Es dessa região atingiram a escala 5 nos dias 26 e 27.

### EMBRACE – Digital Ionosonde

São Luís – 09/19/2022 22:50:00 UT

